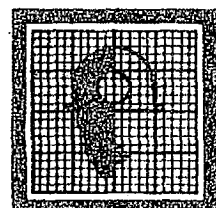


MAPA GEOLOGICO DE ESPAÑA
INFORMACION COMPLEMENTARIA
VEGA DE ESPINAREDA
(126) (10-08)

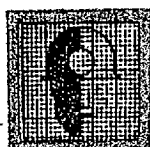


MICROFOTOGRAFIAS

1.977



IMINSA



IMINSA

20146

•1•

MAPA GEOLOGICO DE ESPAÑA

E. 1:50.000

HOJA 126 (10-08). VEGA DE ESPINAREDA

Documentación complementaria



IMINSA

20126

.2.

MICROFOTOGRAFIAS



.3.

FJ 0020.- Aspecto microscopico de las pizarras silúricas (S).

FJ 0023.- Pizarras silúricas con laminaciones originadas por delgadas capas que presentan un mayor contenido en cuarzo.

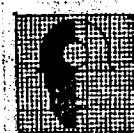
FJ 0028.- Formación Agüeira (O_{2-3}). Niveles de areniscas y pizarras. Las areniscas presentan gran clasificación. Existe una esquistosidad oblicua a la estratificación.

FJ 0035.- Pizarras silúricas con cristales de andalucita (S).

PE 2508.- Pizarras silúricas (S) con cristales enhedrales de pirita.

PE 2515.- Pizarras de Luarca (O_2). Observen el alto desarrollo de la esquistosidad de flujo que da lugar a un fuerte aplastamiento de los cristales de cuarzo y una orientación preferente de los cristales de mica.

PE 2539.- Aspecto microscopico de la Formación Agüeira (O_{2-3}). Existe una esquistosidad de flujo



.4.

que produce una elongación de los cristales de cuarzo y micas así como de nucleos o cuerpos arenosos cuya morfología original debia ser subcircular.

PE 2540.- Formación Agüeira (O_{2-3}). Fotografia mostrando una esquistosidad de flujo que da lugar a formas lenticulares en nucleos de areniscas.

PE 2571.-2578.-2580.-2581.- Pizarras silúricas con cloritoide (S). Observen el desarrollo de "pressure shadows" y "pressure fingers" en los cristales de cloritoide en relación con la esquistosidad de flujo.

PE 2573.- Pizarras silúricas (S) con un fuerte desarrollo de la esquistosidad de flujo.

PE 2574.- Aspecto microscópico de las pizarras silúricas (S) en el que destaca la existencia de una cierta laminación y una esquistosidad de flujo muy penetrativa.



.5.

PE 2588.- Serie de los Cabos (CA_2-O_1P). Cabe destacar que el tamaño de grano es superior al que presentaban las pizarras silúricas, que el contenido en cuarzo es también mayor y el grado de deformación es menor.

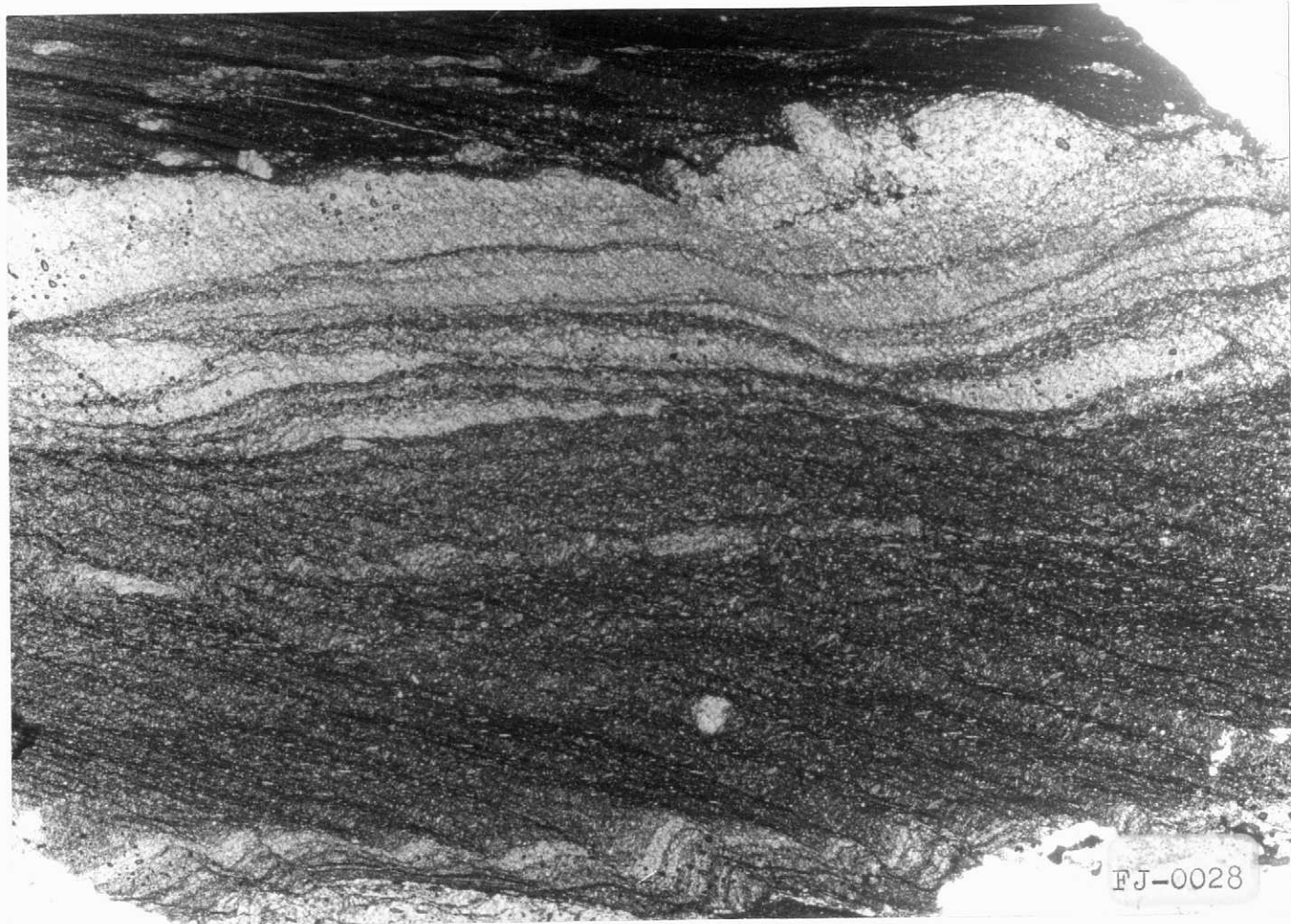
PE 2614.- Pizarras de Luarca (O_2). En la parte media de la fotografía se observa un nódulo arenoso.

PE 2620.- Capa de arenisca en las Pizarras de Luarca (O_2). Existe una esquistosidad oblicua a la estratificación que se halla bien desarrollada en las pizarras y poco desarrollada en la arenisca.

FJ-0020



FJ-0023



FJ-0028

FJ-0035

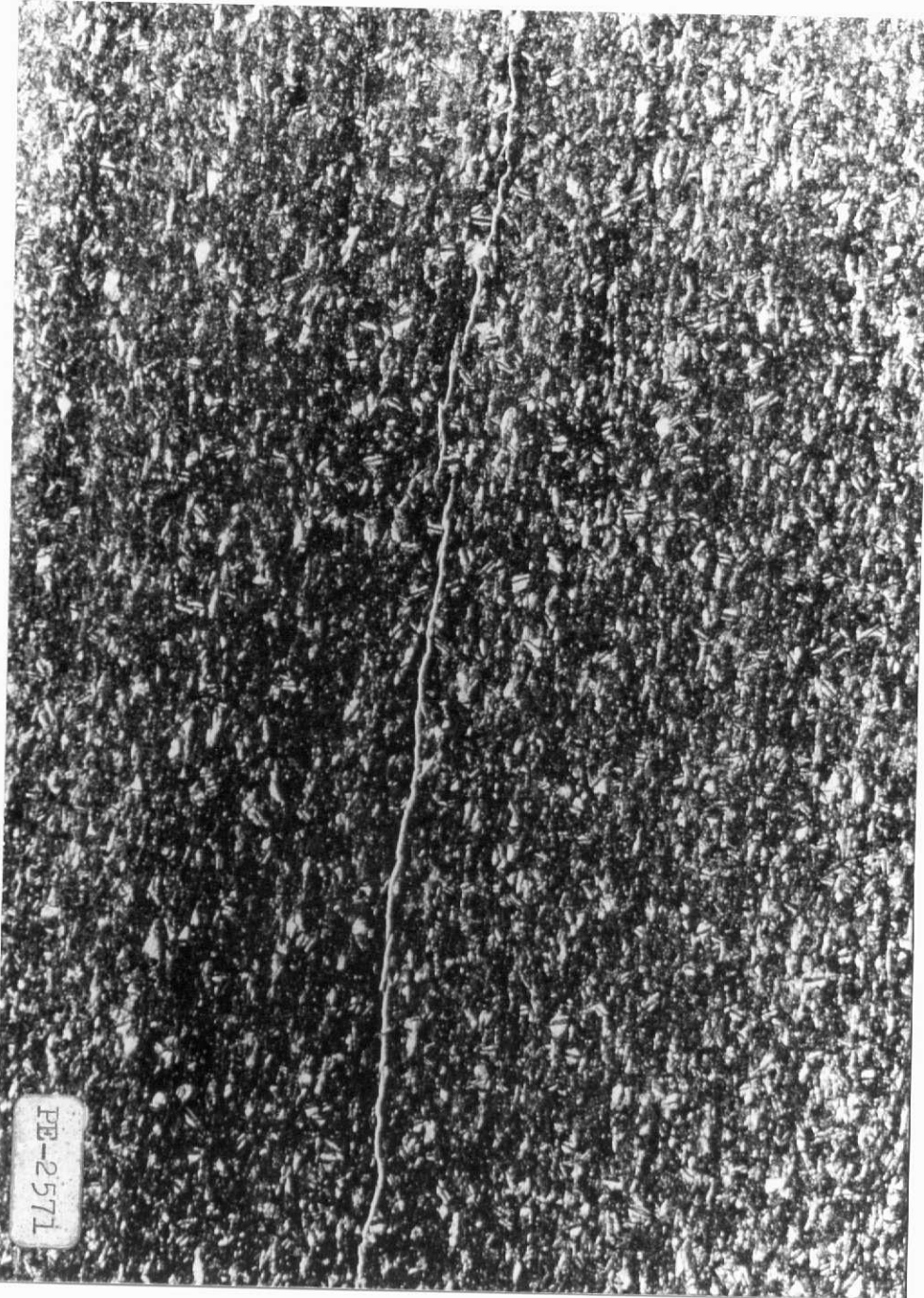
PE-2508

PE-2515

PE-2539



PE-2540

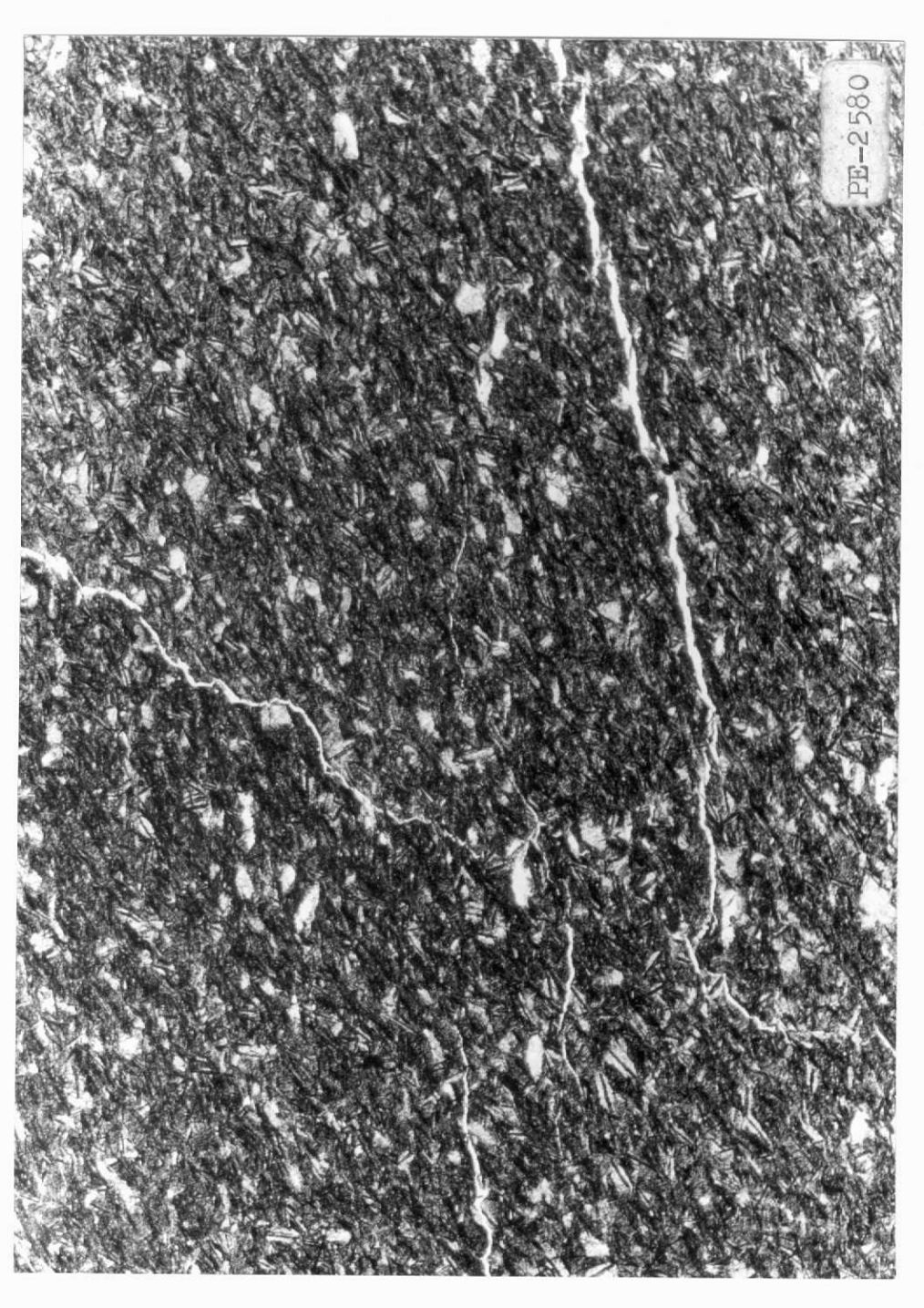


PE-2571

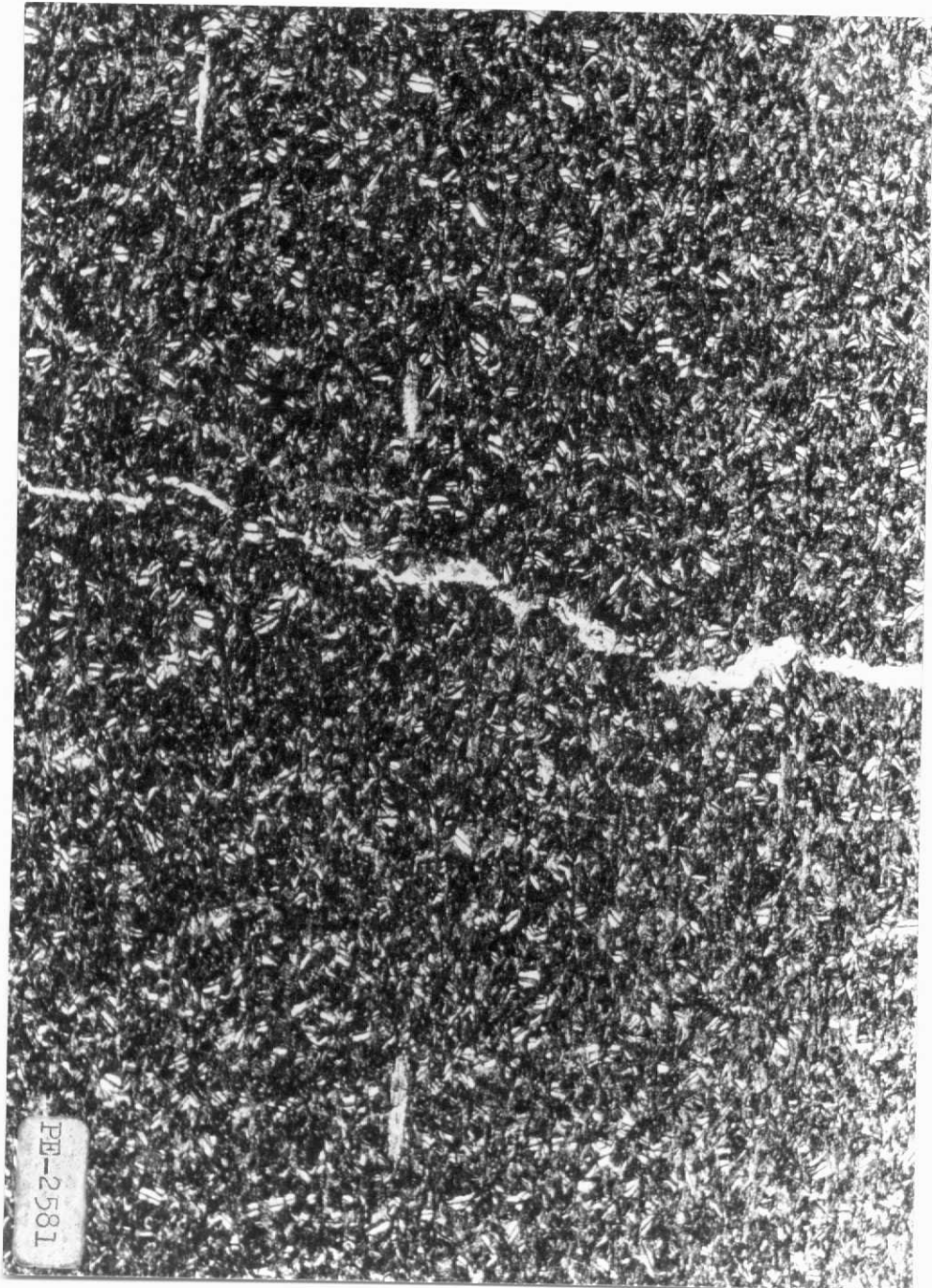
PE-2573

PE-2574

PE-2578



PE-2580



PE-2581

PE-2588

PE-2614

PL-2620